

## Compunerea oscilațiilor paralele - Fenomenul de bătăi

<https://en.wikipedia.org/wiki/Phasor>

Considerăm că un punct oscilează sub acțiunea simultană a două oscilații armonice paralele

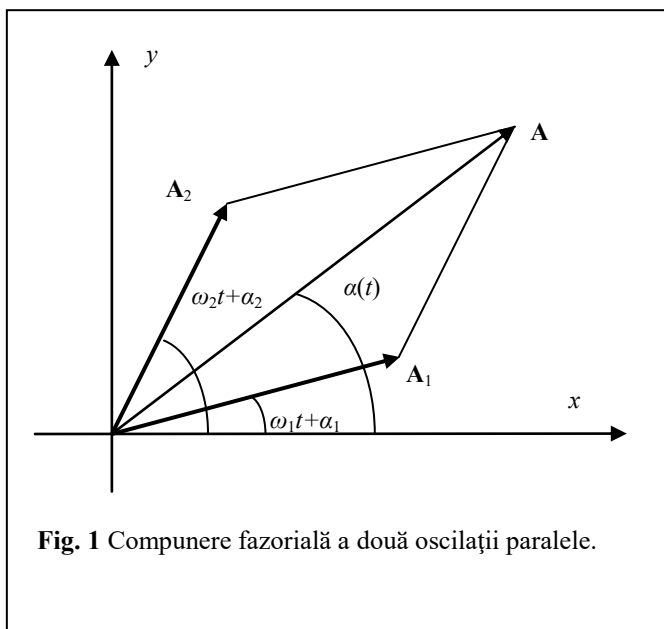
$$\begin{aligned} x_1(t) &= A_1 \cos(\omega_1 t + \alpha_1), \\ x_2(t) &= A_2 \cos(\omega_2 t + \alpha_2), \text{ cu } \alpha_1, \alpha_2 \in [0, \pi/2] \end{aligned} \quad (1)$$

$\omega = 2\pi / T = 2\pi\nu$  frecvența unghiulară,  $\nu$  frecvența,  $\alpha$  faza inițială.

Aplicând principiul superpoziției, putem scrie că oscilația rezultantă este suma

$$x(t) = x_1(t) + x_2(t) = A_1 \cos(\omega_1 t + \alpha_1) + A_2 \cos(\omega_2 t + \alpha_2). \quad (2)$$

Amplitudinea rezultantă se poate obține prin *adunare fazorială* (vezi Fig. 1). Oscilația rezultantă,  $x(t)$ , este dată de proiecția vectorului  $\mathbf{A} = \mathbf{A}_1 + \mathbf{A}_2$  pe axa  $x$  (conform ec. (1)); s-a notat  $A_1 = |\mathbf{A}_1|$ ,  $A_2 = |\mathbf{A}_2|$ .



**Fig. 1** Compunere fazorială a două oscilații paralele.

Amplitudinea fazorului rezultat se poate obține prin calculul produsului scalar  $\mathbf{a} \cdot \mathbf{b} = ab \cos \alpha$ , unde  $a = |\mathbf{a}|$ ,  $b = |\mathbf{b}|$  și  $\alpha$  este unghiul dintre vectorii  $\mathbf{a}$  și  $\mathbf{b}$ . Astfel

$$\begin{aligned} A^2 &\equiv \mathbf{A} \cdot \mathbf{A} = A^2 = (\mathbf{A}_1 + \mathbf{A}_2) \cdot (\mathbf{A}_1 + \mathbf{A}_2) = \mathbf{A}_1 \cdot \mathbf{A}_1 + \mathbf{A}_1 \cdot \mathbf{A}_2 + \mathbf{A}_2 \cdot \mathbf{A}_1 + \mathbf{A}_2 \cdot \mathbf{A}_2 \\ &= A_1^2 + A_2^2 + 2A_1 A_2 \cos \alpha \end{aligned}$$

În consecință, fazorul rezultat are amplitudinea

$$A(t) = \sqrt{A_1^2 + A_2^2 + 2A_1 A_2 \cos[(\omega_1 - \omega_2)t + \alpha_1 - \alpha_2]}, \quad (3)$$

lent variabilă în timp dacă  $\omega_1 \approx \omega_2$ .  $A(t)$  variază între valorile minimă și maximă

$$|A_1 - A_2| \leq A(t) \leq A_1 + A_2. \quad (4)$$

Se observă că

$$A(t) = A(t + T_b), \quad (5)$$

unde

$$T_b = \frac{1}{2} \frac{2\pi}{\omega'_b} = \frac{2\pi}{|\omega_2 - \omega_1|}, \text{ cu } \omega'_b = \frac{|\omega_2 - \omega_1|}{2}. \quad (6)$$

Fenomenul de variație a amplitudinii oscilației rezultante este cunoscut sub numele de *bătăi*. Intervalul de timp dintre două momente la care amplitudinea este aceeași (de exemplu, minimă) definește *perioada bății*,  $T_b$ . Faza oscilației rezultante se poate obține geometric din Fig. 1, observând că, de exemplu,

$$\alpha(t) = \arccos \frac{A_1 \cos(\omega_1 t + \alpha_1) + A_2 \cos(\omega_2 t + \alpha_2)}{A(t)} \quad (7a)$$

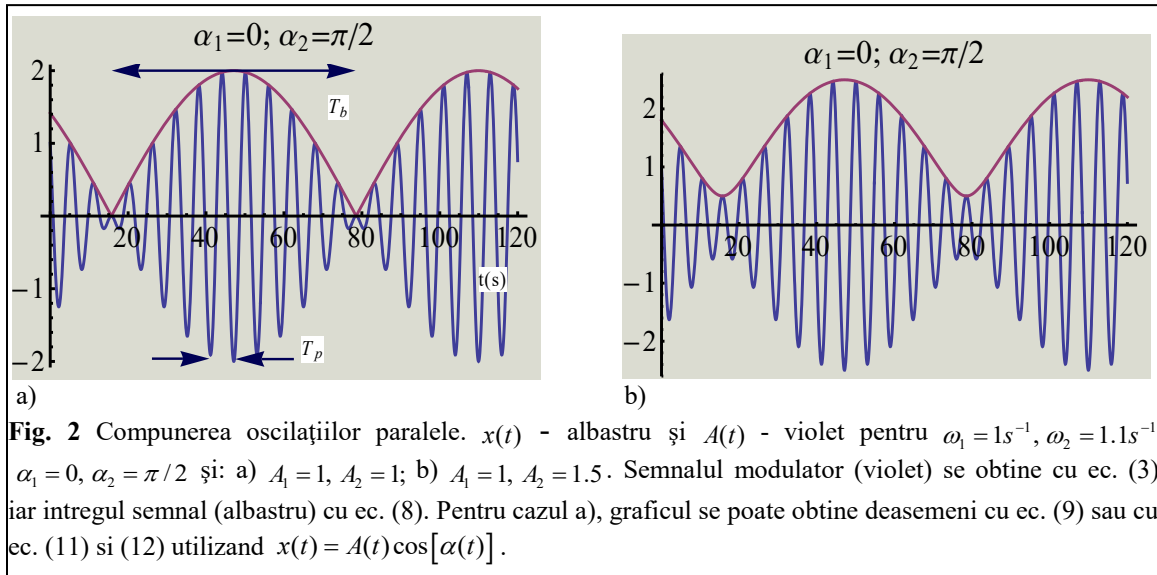
sau

$$\alpha(t) = \arctan \frac{A_1 \sin(\omega_1 t + \alpha_1) + A_2 \sin(\omega_2 t + \alpha_2)}{A_1 \cos(\omega_1 t + \alpha_1) + A_2 \cos(\omega_2 t + \alpha_2)} \quad (7b)$$

Astfel, oscilația rezultantă se scrie

$$x(t) = x_1(t) + x_2(t) = A(t) \cos[\alpha(t)]. \quad (8)$$

Simularea bățiilor este reprezentată în Fig. 2, unde sunt reprezentate grafic  $x(t)$  și  $A(t)$  pentru cazul  $\omega_2 \approx \omega_1$ .



### Discuție

**Caz a)**  $A_1 = A_2 = A \Leftrightarrow$  oscilații armonice paralele cu *amplitudini egale*. Aplicând principiul superpoziției putem scrie că oscilația rezultantă este suma

$$\begin{aligned}
x(t) &= x_1(t) + x_2(t) = A \left[ \cos(\omega_1 t + \alpha_1) + \cos(\omega_2 t + \alpha_2) \right] \\
&= 2A \underbrace{\cos \left[ \frac{(\omega_1 + \omega_2)t}{2} + \frac{\alpha_1 + \alpha_2}{2} \right]}_{\text{purător}} \underbrace{\cos \left[ \frac{(\omega_1 - \omega_2)t}{2} + \frac{\alpha_1 - \alpha_2}{2} \right]}_{\text{modulator}}, \quad (9) \\
&= 2A \cos \left[ \omega'_b t + \frac{\alpha_1 - \alpha_2}{2} \right] \cos \left[ \omega_p t + \frac{\alpha_1 + \alpha_2}{2} \right]
\end{aligned}$$

unde,

$$\omega'_b = (\omega_1 - \omega_2) / 2 ; \omega_p = (\omega_1 + \omega_2) / 2 \quad (10)$$

si s-a presupus ca  $\omega_1 > \omega_2$ . Ecuația (9) arată că oscilația rezultantă este o oscilație 'purătoare' de frecvență  $\omega_p$  'modulată' de un semnal cu frecvență unghiulară (mică)  $\omega'_b$ .

#### Observație a)

Cu ec. (3) putem regăsi rezultatul din ec. (9) observând că ec. (7a) generează

$$\cos \alpha(t) = \frac{A \cos(\omega_1 t + \alpha_1) + A \cos(\omega_2 t + \alpha_2)}{A(t)} \quad (11)$$

iar ec. (8) și (11) generează ec. (9):

$$\begin{aligned}
x(t) &= A(t) \cos[\alpha(t)] \\
&= A(t) \frac{A \cos(\omega_1 t + \alpha_1) + A \cos(\omega_2 t + \alpha_2)}{A(t)}, \quad (12) \\
&= 2A \cos \left[ \frac{(\omega_1 - \omega_2)t}{2} + \frac{\alpha_1 - \alpha_2}{2} \right] \cos \left[ \frac{(\omega_1 + \omega_2)t}{2} + \frac{\alpha_1 + \alpha_2}{2} \right]
\end{aligned}$$

Conform ec. (10) (vezi și Fig. 2), perioada oscilației purătoare este

$$T_p = \frac{2\pi}{\omega_p} = \frac{4\pi}{\omega_2 + \omega_1}. \quad (13)$$

Numărul de oscilații efectuate în perioada bătăilor este

$$N = \frac{T_b}{T_p} \Rightarrow N = \frac{\nu_1 + \nu_2}{2|\nu_1 - \nu_2|}, \quad (14)$$

unde  $\nu = \omega/(2\pi)$  este frecvența.

**Caz b)**  $\omega_1 = \omega_2 = \omega \Leftrightarrow$  oscilații armonice paralele cu frecvențe unghiulare egale. In acest caz amplitudinea oscilației este constantă, egală cu (vezi ec. (3))

$$A = \sqrt{A_1^2 + A_2^2 + 2A_1A_2 \cos(\alpha_1 - \alpha_2)} \quad (15)$$

și paralelogramul din Fig. 1 se rotește cu viteza unghiulară constantă  $\omega$ . Faza inițială  $\alpha$  este exprimată (vezi ec. (7a)) prin

$$\cos \alpha = \frac{A_1 \cos \alpha_1 + A_2 \cos \alpha_2}{A} \quad (16)$$

sau similar (cu ec. (7b))

$$\tan \alpha = \frac{A_1 \sin \alpha_1 + A_2 \sin \alpha_2}{A_1 \cos \alpha_1 + A_2 \cos \alpha_2} \quad (17)$$

### Observație b)

Se poate arata ca utilizand ec. (7a) adaptată acestui caz,

$$\cos[\alpha(t)] = \frac{A_1 \cos(\omega t + \alpha_1) + A_2 \cos(\omega t + \alpha_2)}{A} \quad (18)$$

se obține

$$\cos[\alpha(t)] = \cos \left( \omega t + \arctan \frac{A_1 \sin \alpha_1 + A_2 \sin \alpha_2}{A_1 \cos \alpha_1 + A_2 \cos \alpha_2} \right), \quad (19)$$

ceea ce conduce la concluzia că unghiul vectorului **A** cu axa x crește în timp după legea

$$\alpha(t) = \omega t + \arctan \left[ \frac{A_1 \sin \alpha_1 + A_2 \sin \alpha_2}{A_1 \cos \alpha_1 + A_2 \cos \alpha_2} \right]. \quad (20)$$

Ecuatia (19) se poate obține astfel. Cu ec. (18) rezulta

$$\begin{aligned} \cos[\alpha(t)] &= \frac{A_1 \cos(\omega t + \alpha_1) + A_2 \cos(\omega t + \alpha_2)}{A} \\ &= \cos \omega t \frac{A_1 \cos \alpha_1 + A_2 \cos \alpha_2}{A} - \sin \omega t \frac{A_1 \sin \alpha_1 + A_2 \sin \alpha_2}{A} \\ &= \cos \omega t \cos \alpha - \sin \omega t \sin \alpha = \cos(\omega t + \alpha) \end{aligned}$$

dacă  $\cos \alpha = \frac{A_1 \cos \alpha_1 + A_2 \cos \alpha_2}{A}$  și  $\sin \alpha = \frac{A_1 \sin \alpha_1 + A_2 \sin \alpha_2}{A}$ , ceea ce este echivalent

cu  $\alpha = \arctan \frac{A_1 \sin \alpha_1 + A_2 \sin \alpha_2}{A_1 \cos \alpha_1 + A_2 \cos \alpha_2}$ .

## Superposition of perpendicular harmonic oscillations – Lissajous figures

[https://www.vascak.cz/data/android/physicsatschool/template.php?s=kv\\_lissajousovy\\_obrazce&l=en](https://www.vascak.cz/data/android/physicsatschool/template.php?s=kv_lissajousovy_obrazce&l=en)

O figură Lissajous este traiectoria unui punct ale cărei coordonate rectangulare ( $x$ ,  $y$ ) sunt oscilații armonice, sau analog, rezultanta a două oscilații armonice în direcții perpendiculare:

$$\begin{aligned}x &= a \cos(\omega_x t + \alpha) = a \cos(m\omega t + \alpha) \\ y &= b \cos(\omega_y t + \beta) = b \cos(n\omega t + \beta)\end{aligned}\quad (1)$$

unde  $\omega$ ,  $a$ ,  $b$ ,  $m$ ,  $n$  sunt, în general numere reale pozitive.

Versiunea opto-mecanică a unui experiment de compunere a două oscilații armonice perpendiculare este descrisă în Fig. 1. O rază de lumină este trimisă pe o mică oglindă atașată unui braț al unui diapazon și reflectată pe oglinda mică atașată unui alt diapazon. În continuare raza de lumină este trimisă pe o lentilă optică care focalizează raza pe un ecran. Brațele celor două diapazoane sunt așezate în plane perpendiculare. Când frecvențele celor două diapazoane sunt rapoarte de numere prime, pe ecran apar curbe caracteristice, numite figuri Lissajous.

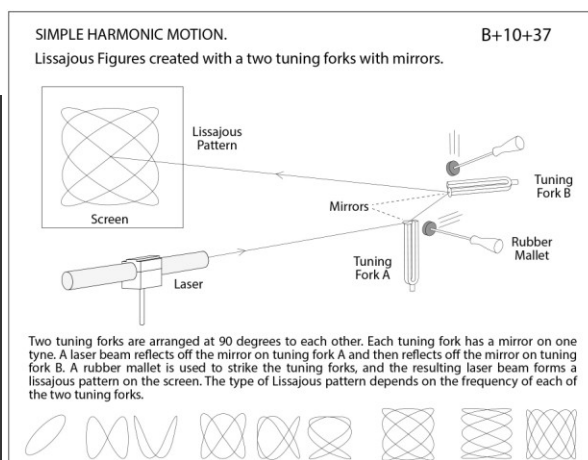
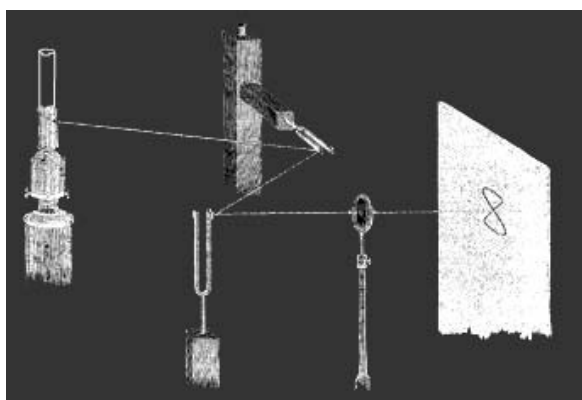


Fig. 1a Figuri Lissajous - versiune opto-mecanică

<http://berkeleyphysicsdemos.net/sites/default/files/B%2B10%2B37.jpg>

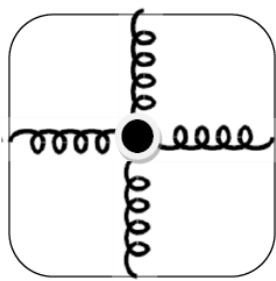


Fig. 1b Analog mecanic pentru  
obținerea figurilor Lissajous

Se poate arăta că: **dacă**  $\omega_x / \omega_y = m / n$  **și**  $m$  **și**  $n$  **sunt numere prime, traiectoriile obținute sunt închise și deschise (punctul acoperă o arie) în caz contrar.**

A. De exemplu, pentru oscilații cu *aceeași frecvență*,

$$\begin{aligned} x &= a \cos(\omega t + \alpha) = a [\cos(\omega t) \cos(\alpha) - \sin(\omega t) \sin(\alpha)] \\ y &= b \cos(\omega t + \beta) = b [\cos(\omega t) \cos(\beta) - \sin(\omega t) \sin(\beta)] \end{aligned} \quad (2)$$

pentru a elimina parametrul timp  $t$  se calculează  $\cos(\omega t)$ ,  $\sin(\omega t)$  din sistemul (2) și se utilizează  $\cos^2(\omega t) + \sin^2(\omega t) = 1$ . Se obține ecuația generală a unei elipse:

$$\frac{x^2}{a^2} + \frac{y^2}{b^2} - 2 \frac{xy}{ab} \cos(\alpha - \beta) = \sin^2(\alpha - \beta). \quad (3)$$

Se poate proceda și calculând rădăcinile ec. (2), astfel.

$$\begin{aligned} x &= a \cos(\omega t + \alpha) \Rightarrow \omega t = \pm \arccos(x/a) - \alpha + 2k\pi \\ y &= b \cos(\omega t + \beta) \Rightarrow \omega t = \pm \arccos(y/b) - \beta + 2n\pi \end{aligned} \quad (4)$$

unde  $k$  și  $n$  sunt numere întregi; prin scădere, se obține

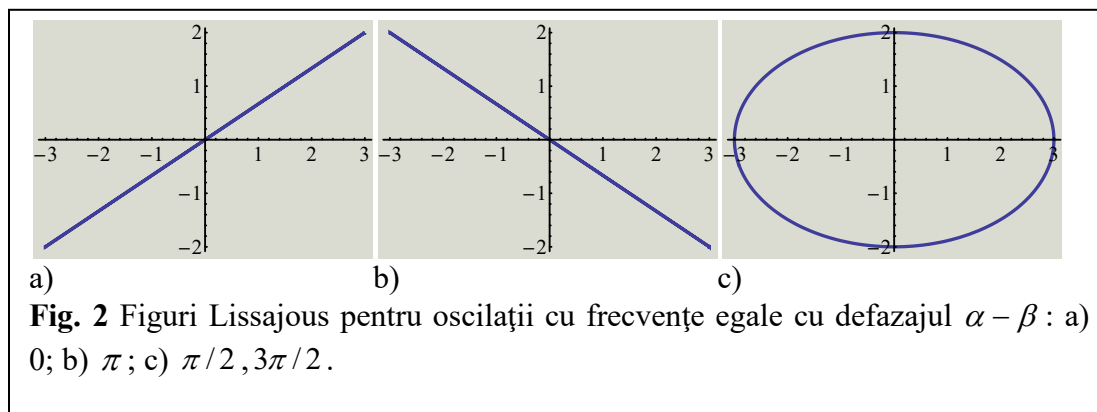
$$\pm [\arccos(x/a) - \arccos(y/b)] = \alpha - \beta + 2(n - k)\pi. \quad (5)$$

Se aplică cosinus ec. (5) și se obține din nou ec. (3).

**Q2.** Efectuați calculele cu ec. (2) și (4) pentru a obține ec. (3).

În funcție de defazajul  $\alpha - \beta$  traiectoria rezultată este (vezi Fig. 2):

$$\begin{aligned} \alpha - \beta = 0, \pi &\Rightarrow \text{dreaptă } y = \frac{b}{a}x, \text{ respectiv } y = -\frac{b}{a}x; \\ \alpha - \beta = \pi/2, 3\pi/2 &\Rightarrow \text{în general elipsă și cerc dacă } a = b. \end{aligned}$$



B. Pentru oscilații cu o *frecvențe* multipli de numere naturale  $m$  și  $n$  prime între ele,

$$\begin{aligned} x &= a \cos(m\omega t + \alpha) = a \cos(\omega_x t + \alpha) \\ y &= b \cos(n\omega t + \beta) = b \cos(\omega_y t + \beta) \end{aligned} \quad (6)$$

Soluțiile ec. (6) sunt

$$m\omega t = \pm \arccos(x/a) + 2k\pi - \alpha$$

$$n\omega t = \pm \arccos(y/b) + 2p\pi - \beta$$

de unde

$$\pm n \arccos(x/a) + 2kn\pi - \alpha n = \pm m \arccos(y/b) + 2pm\pi - \beta m. \quad (7)$$

Se aplica funcția cosinus ec. (7) și rezultă

$$\cos[n \arccos(x/a) - m \arccos(y/b)] = \cos(\alpha n - \beta m) \quad (8a)$$

sau

$$\cos[\pm n \arccos(x/a) - \alpha n] = \cos[\pm m \arccos(y/b) - \beta m] \quad (8b)$$

*Exemplul 1*

Pentru  $m=1$ ,  $n=2$ ,  $\alpha = \beta = 0$ , cu ec. (8b) se obține

$$\cos[2 \arccos(x/a)] = (y/b) \quad (9)$$

sau

$$\cos^2[\arccos(x/a)] - \sin^2[2 \arccos(x/a)] = (y/b), \quad (10)$$

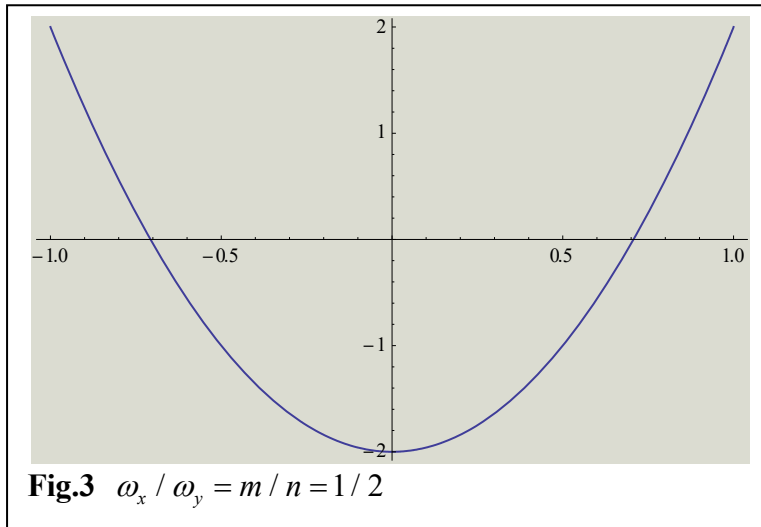
sau

$$(x/a)^2 - 1 + \cos^2[\arccos(x/a)] = (y/b), \quad (11)$$

sau

$$2(x/a)^2 - 1 = (y/b). \quad (12)$$

Graficul ec. (12) (figura Lissajous) este reprezentat în Fig. 3, pentru  $a=1$ ,  $b=2$  (conform ec. (6),  $x \in [-1, 1]$ ,  $y \in [-2, 2]$ ).



*Exemplul 2*

$$x = \cos 2t$$

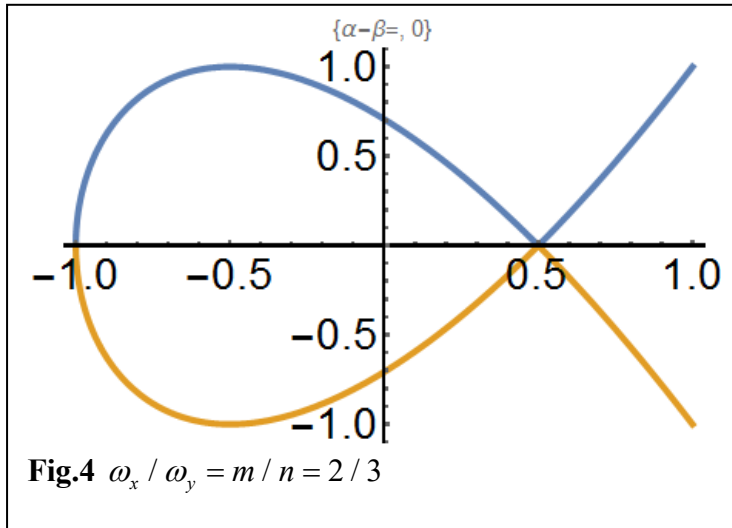
$$y = \sin(3t + \pi/2)$$

(13)

Cu ec. 8(b) se obtine

$$y = \pm \sqrt{\frac{4x^3 - 3x + 1}{2}} = \pm \sqrt{\frac{(x+1)(2x-1)^2}{2}} = \pm |2x-1| \sqrt{\frac{x+1}{2}}, \quad (14)$$

cu  $x \in [-1, 1]$ . Graficul ec. (14) este reprezentat in Fig. 4.

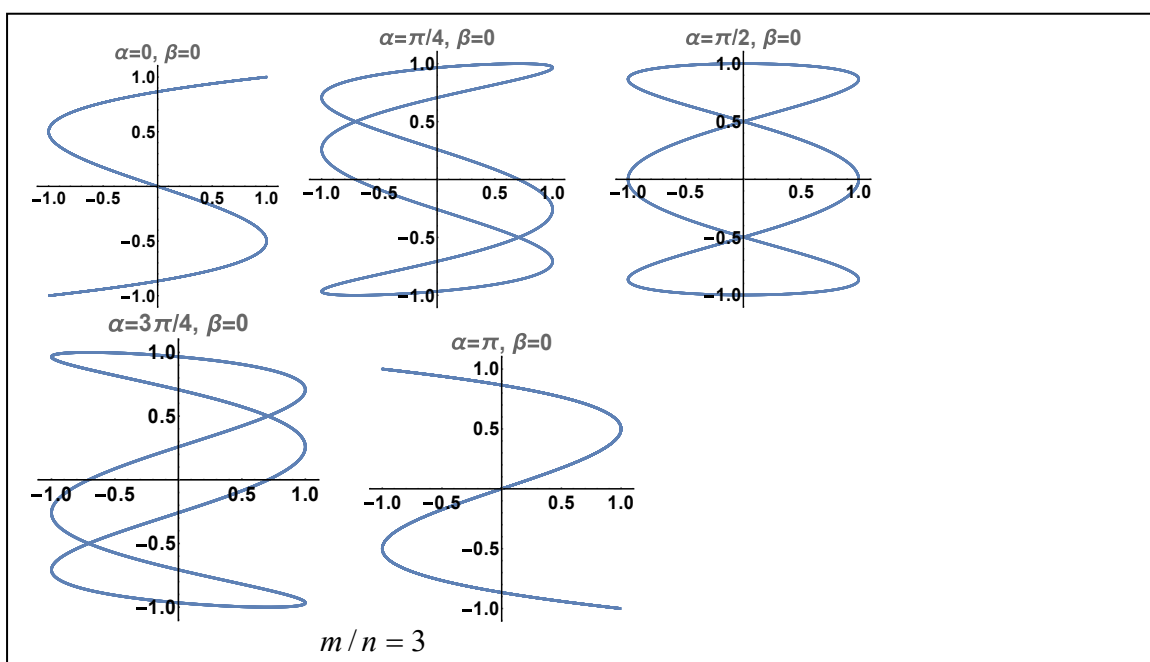
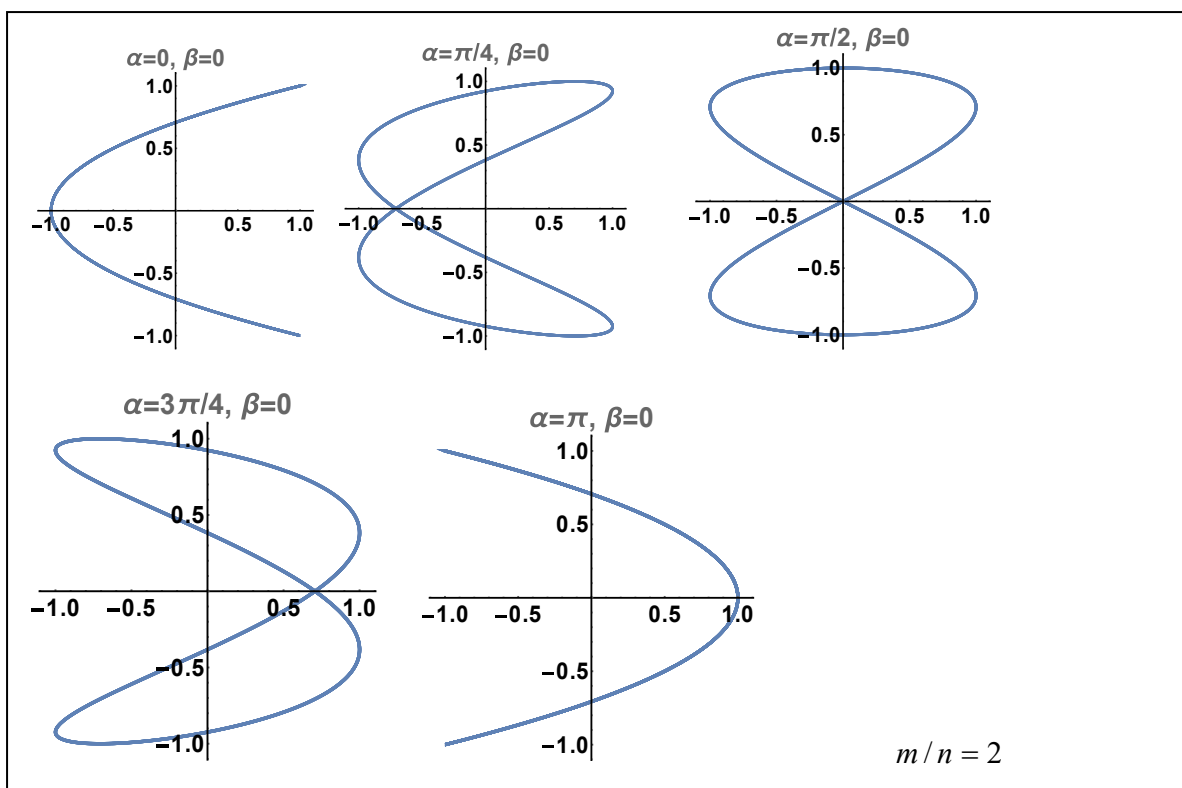


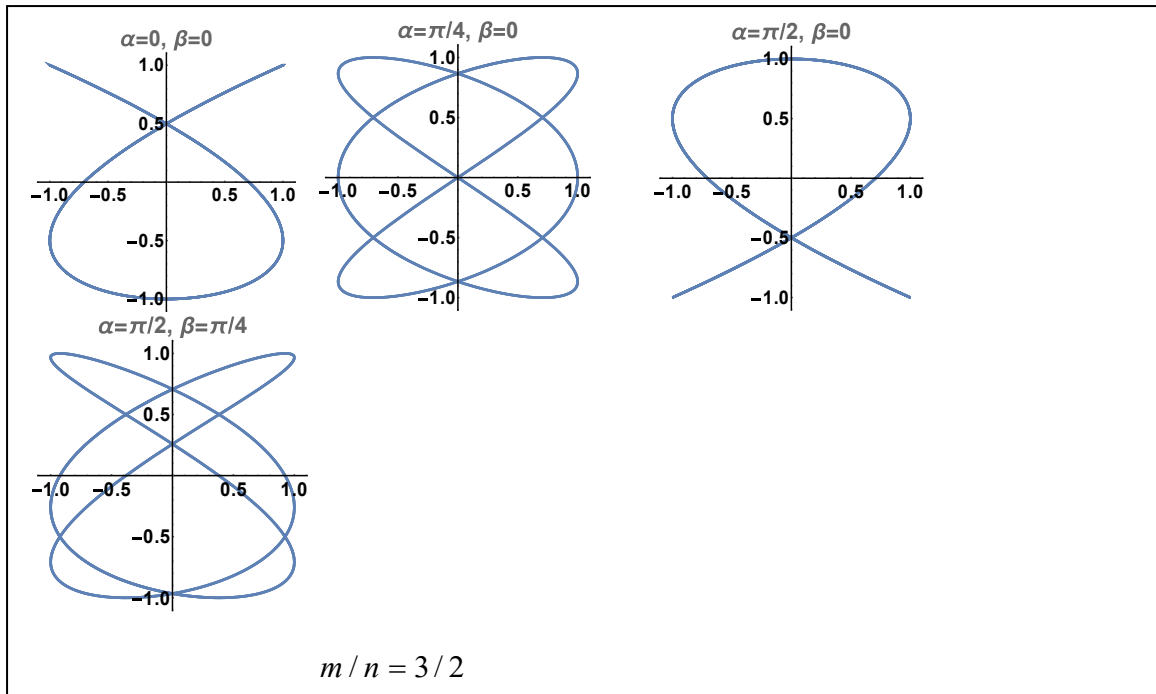
Ec. (13) are 3 radacini reale (2 identice), deci intersecteaza axa  $x$  de 3 ori si are 2 ramuri, una in cadranul superior si cealalta in cadranul inferior (daca graficul se intersecteaza cu o dreapta paralela cu ordonata, se obtin 2 intersectii). Raportul intersectiilor axelor verticale si orizontale este egal cu raportul frecventelor celor doua oscilatii.

Se poate arăta ca in general, în cazul traiectoriilor închise, raportul dintre numărul de intersecții ale figurii Lissajous cu o dreaptă orizontală și o alta verticală este egal cu raportul frecvențelor celor două oscilații armonice perpendiculare.

În Fig. 5 sunt reprezentate câteva exemple de figuri Lissajous, pentru oscilații cu amplitudini egale la diferite defazaje, unde  $m / n$  reprezinta raportul frecvenelor.







**Fig.5** Figuri Lissajous

Referinte

<http://egyankosh.ac.in/bitstream/123456789/18876/1/Unit-2.pdf>